

# 濃淡图形の細線化アルゴリズムの比較について

成瀬 正鳥脇 純一郎 福村 晃夫  
名古屋大学工学部

## 1. まえがき

濃淡画像の画像処理において、与えられた画像を所要の情報を含む線图形に変換することがしばしば行なわれる。これは、画像処理過程で極めて重要な位置を占める処理であるため、多種類の方法が提案されているが、すべての入力画像と処理目的に対応しうる理想的な方法はまだ知られておらず、従って、実際の応用に際しては適当な手法を選択する必要になる。それゆえ、既存の手法を比較検討して各々の特徴を明確にしておくことが重要であるが、そのような検討はこれまで部分的にはなされてきたにすぎない。<sup>(1),(2),(3),(4)</sup>そこで、本文では濃淡画像を線图形に変換する諸方法（以下簡単のため細線化法とかく）の性質の比較検討を試みる。

ところで、二値图形の細線化の方法の比較に関しては既に田村による詳細な報告があるが、<sup>(5),(6)</sup>濃淡画像を対象とする場合は、次に述べるように問題の性質が二値图形の場合とかなり異なってくる。すなわち、まず、濃淡画像自体が多くの情報をもつため、細線化法も異なった発想に基くものが生じて多彩となる。（たとえば、連結数、交差数<sup>(7)</sup>のような基本的概念が見出しがたい。）従って、既存の方法の多くがまだ基本的な考え方の提案の段階にあって二値图形の場合のように細部まで改善がなされていない。さらに対象となる画像の種類や処理目的も多様である（たとえば、二値图形処理の場合の文字認識のような）標準的な処理対象や処理目的を設定しにくい。それゆえ、本研究では、各種手法の発想（あるいは基本的考え方）の相違と、それに基づく性質の相違の考察に重きをおく。また、必要に応じて適当に選択された濃淡画像の処理結果の定量的比較も行なう。

以下、まず2で細線化の諸方法の概観と、本文で検討する具体的な細線化法の説明を予える。次いで3で細線化アルゴリズムの中で重要な役割を果す画像の重心・寸法距離変換の基礎的性質を述べた後、4において各種アルゴリズムの比較結果を、実験結果も含めて詳しく述べる。

## 2. 細線化の方法

### 2.1 細線化法の概説

前述のよう、濃淡画像の処理の目的は多様であり、それに応じて変換された線图形のもべき情報（すなわち、どのような線图形を抽出すべきか）もまた変化に富むが、次の二つの場合が想りく大部分を占めると思われる。

(1) 入力画像中に注目する特定の対象物（图形）が存在する場合—対象物の輪郭線、または芯線に対する線图形。（例、胸部X線像における肋骨像異常陰影等。）

(2) 入力画像中に特定の対象物をもたない場合—入力画像の構造を表わす線图形（尾根線、谷線等）（例、地形図）

そして、(1)の場合には適当な前処理によって、線图形が抽出されるべきとその近傍とで濃度値が大きい値、その他では小さい値をとるような画像を入力画像からつくり出すことを前提とすれば、直観的には、濃淡画像の細線化としては、与えられた画像から濃度分布のつくる曲面の尾根筋に当たるような自然な（well-behaviorな）曲線を抽出する機能を考えればよいであろう。

さて、標本化された画像上で細線化を実行することは、各標本像に対して、それが抽

出された線図形上にみるとみなされるか否か(いわば標本実の状態)を判定することである。そして、この判定のために、局所情報(その他の近傍で画面全体に比べて十分小さい領域から得られる情報)および大局的情報(局所情報の場合と比べて十分広い領域から得られる情報)としてどのようなものを用いるかによって、種々の細線化の方法が工夫される(表1)。このような情報の主なものとして次のものがあげられる。

(1) 局所情報: 濃度の極値性(方向つき), 連結数および曲率係数, 距離変換の値。

(2) 大局的情報: 線図形を含む領域の形状, 距離変換, 抽出実の隣接関係(抽出された線の連結性, 墓らかさ等), その他適当な評価関数。

これらの中で、局所情報は明らかと思われる所以大局的情報について、少し補足しておく。大部分の方法においては、線図形を含むとみなされる領域を予め定め、線図形はその中から抽出される。この領域の作り方は、画面全体に対するしきい値処理である値以上の濃度を持つ部分を抽出する場合(しきい値処理)と、各標本実を局所情報で分類した後同一種類の実の集まりとして領域をつくる場合(clustering)がある。この領域のアルゴリズム上の意義は様々で、単に領域の外からは線を抽出しないという消極的なものから、領域の形を積極的に利用するものまである。一方、評価関数による方法というのには、適当に設定された(線図形としての良さの尺度を示す)評価関数を最適化する標本実の組を求めるようとするもので、この関数自体が局所情報と全局的情報の組合せには、している。上記(1)(2)の組合せに対応する主要な方法を表1に示す。

さて次に、これらの方針の中から以下に述べる方針に沿って、いくつかの方法を選択し、本文の検討の対象とする。まず標本実の方法<sup>(9)</sup>は、いまは標本化画像を対象とするという理由から除く。<sup>(4)</sup> また clustering による領域生成を用いる諸方法<sup>(10), (11), (12)</sup>は、厳密に細線化するために、二値図形細線化の方法を併用する、いわば二種以上の細線化の合成とみなされるため除外する。さらに、評価関数を用いる方法は、実際には、抽出された実の隣接関係を大局的情報として用ひる直結型アルゴリズムに帰着される。従って、表1で残された手法の典型的なものとして、GWS<sup>(13)</sup>, WPM<sup>(14)</sup>,

表1 濃淡画像の細線化法の分類(各手法とも代表的なもの、または本文で後に用いるものをあげるためにとどめろ)

局所 情報	無	clustering による領域生成	しきい値処理による領域生成			評価関数
			GWD <sup>†</sup>	領域の形状	隣接関係の論理条件	
極値性	標本他 <sup>(9)</sup>	Johston他 <sup>** (10)</sup>	/	複数 <sup>(2)</sup> 多數	複数他 <sup>(2)</sup> Hilditch <sup>(5)</sup>	小林伸他 <sup>(16)</sup> 阿部人也 <sup>(15)</sup> 鹿野他 <sup>(2)</sup>
連結数 曲率係数	/	鳥脇他 <sup>(12)</sup>	/			
GWD <sup>†</sup>	/	/	Levi他(GWS) <sup>** (13)</sup> 鹿野他(WPM) <sup>†† (14)</sup>	/	/	

† 重みつき距離(Grey Weighted Distance)

\* 可変局所領域を積極的に用いる。

†† 重みつきスケルトン(Grey Weighted Skeleton)

\*\* 実際には、厳密に線図形に変換するとこう

†† Wave Propagation Method

手づけはいたつといふ。

~~~~: 本文での検討に用いる手法

(\*)一般に連続関数に対して考えられた方法を標本化画像処理に移行する作業は自明ではない。特に上記の方法では標本化画像の1階、2階の偏導関数の定義と難音除去の前処理に工夫を要する。

極値抽出法<sup>(2)</sup>、横せらるの方法<sup>(3)</sup>、阿部らの方法<sup>(4)</sup>を個人で検討の対象とする。

## 2.2 本文で扱う細線化法

ここでは本文で考察の対象とする細線化法をやや詳しく説明する。

### (1) 極値抽出型(並列型)<sup>(2)</sup> (Ridge Extraction - Parallel Type, REP)

|    |    |    |
|----|----|----|
| P1 | P8 | P7 |
| P2 | P0 | P6 |
| P3 | P4 | P5 |

要  $P_0$  とその近傍の 8 点  $P_1, P_2, \dots, P_8$  (図 1) の値をそれぞれ  $x_1, x_2, \dots, x_8$  とする。(以下  $A \wedge B$  は  $A$  と  $B$  が同時に成立すること,  $A \vee B$  は  $A$  と  $B$  の少なくとも一方が成立することを意味する。)

(1).  $\{(x_p > x_2) \wedge (x_p > x_6)\} \cup \{(x_p > x_8) \wedge (x_p > x_4)\}$   
ならば  $P_0$  は抽出点とする。

図 1. 要  $P_0$  とその近傍 (2).  $\{(x_p = x_2) \wedge (x_p > x_6)\} \cup \{(x_p > x_2) \wedge (x_p = x_6)\} \cup \{(x_p = x_8) \wedge (x_p > x_4)\} \cup \{(x_p > x_8) \wedge (x_p = x_4)\}$

ならば  $P_0$  は抽出点の可能性ありとして (3) を調べる。

(3). (1) または (2) を満足するまで  $x_i = 1$ , 他の場合は  $x_i = 0$  とする。 $(\bar{x}_i = 1 - x_i$  とする)

$$(i) (x_1 \vee x_p \vee x_8) (x_3 \vee x_4 \vee x_5) \vee (x_1 \vee x_2 \vee x_3) (x_5 \vee x_6 \vee x_7) = 1$$

$$(ii) x_2 \bar{x}_6 (x_1 x_3 \bar{x}_5 \bar{x}_7 \vee x_1 x_4 \bar{x}_7 \vee x_3 \bar{x}_5 x_8) \vee x_4 \bar{x}_8 (\bar{x}_1 x_3 x_5 \bar{x}_7 \vee \bar{x}_1 x_3 x_6 \vee x_2 x_5 \bar{x}_7) \vee \\ \bar{x}_2 x_6 (\bar{x}_1 \bar{x}_3 x_5 x_7 \vee \bar{x}_1 x_4 x_2 \vee \bar{x}_3 x_5 x_8) \vee \bar{x}_4 x_8 (x_1 \bar{x}_3 \bar{x}_5 \bar{x}_7 \vee x_1 \bar{x}_3 x_6 \vee x_2 \bar{x}_5 x_7) = 0$$

上記 (i), (ii) の式を共に満たすならば  $P_0$  を抽出点とする。

この方法は、尾根線状の点を抽出する最も基本的(直接的)方法とみなされる。(但し、抽出条件の細部には他の多くの変形が考えられる。) 文献 (10), (11) も基本的にはこれと同様であり、濃度値の極値性に注目するとすれば、基本的にこのようになる。但し、この方法では大局的情報は隣接関係に閉じるごく簡単な条件があるのみで、条件 (3) を外すと局所情報のみとなり、また、連結領域の存在は、その外部での線抽出を禁止するという消極的な拘束のみで本質的でない。

### (2) 尾根線抽出(追跡型)<sup>(5)</sup> (Ridge Extraction - Sequential Type, RES)

概略については付録参照<sup>(\*)</sup>。この方法は線を一方から辿っていく(追跡)手順に特徴があり、線の滑らかさに閉じる条件を利用しやすい。前述のように構成される評価関数の最大化(最小化)を計算せり方でも、動的計画法を用いた多くの手法も、結局はこの種の方法に帰着する。なお個々の条件の細部には色々の変形があり得よう。連結領域の意義は (1) と同様消極的なものである。

### (3) 芯線抽出<sup>(3)</sup> (Thinning, TH)

連結領域を線から順に削除していく。<sup>(3), (8)</sup> 但し、削除すべき点の選択に濃度値の情報を利用する。この型の例として、ここでは横せらるによる方法を用いる<sup>(3)</sup>。但し、これは細部まで洗練されていろわけではなく、部分的改善の余地は少くない。詳細は文献 (3) にゆずる。連結領域の存在が本質的に必要である。

### (4) 重みつきスケルトン<sup>(13)</sup> (Grey Weighted Skeleton, GWS)

二値图形の骨格線(skeleton)を求める手順に濃度値の利用を組み入れるもの。後述の如く直接に細線化を意図したものではなく、線中に到達所が 2 になり、厳密な細線化はできない。詳細は 3 で改めて述べる。連結領域は本質的に必要である。

### (5) Wave Propagation Method<sup>(14)</sup> (WPM)

上記 GWS を求め重みつき距離変換(Grey Weighted Distance Transformation, GWDT)とそれを定める minimal path の情報を<sup>(13)</sup>組み合せて、GWS に対応する位置に線中 1 で連結性のよい曲線の抽出を意図したもの。基本的には GWS と同様の性格を

(\*) 本方法は静岡大学阿部圭一助教授の開発による。

もつが、最初から細線化を意図して開発されたものであるため、抽出線の性質は GWS より良い。詳細は文献(14)にゆずる。連結領域は本質的に必要である。

### 3. 重みつき距離変換の性質

前章で述べたように本文で考察の対象とされる諸方法のうち GWS, WPM は本質的に重みつき距離変換 (GWDT) を伴い、また TH, RES も入力画像の性質を well-behaved にするために、前処理として GWDT の採用をすすめている。<sup>(3)</sup> 本節では、以下の説明に必要な記号の定義と GWDT の性質を述べておく。

[定義 1] オイ行  $i$  列標本点の濃度値が  $f_{ij}$  で与えられる標本化された画像を  $\bar{F} = \{f_{ij}\}$  で表す。オイ行  $i$  列標本点を単に点  $(i, j)$  または要素  $(i, j)$  とかく。特に  $f_{ij} \geq 0$  for all  $(i, j)$  のとき  $\bar{F}$  を正値画像とする。以下特に断らない限り、本文では正値画像のみを取る。

[定義 2] 画像  $\bar{F} = \{f_{ij}\}$  において、 $f_{ij} = 0$  となる点  $(i, j)$  の集合を“0 値成分”とよび  $F_0$  で表す。 $f_{ij} > 0$  となる点  $(i, j)$  の集合は、要素間の連結関係によって同値類に分けられる。<sup>(19)</sup> 各同値類を連結成分 (connected component) または、疊漠連結成分とよぶ。

[定義 3] 正値画像  $\bar{F} = \{f_{ij}\}$  に対して次の式で定義される画像を  $\bar{F}$  の二値化画像と呼び、 $\bar{F}_B = \{f_{Bij}\}$  で表す。 $f_{Bij} = 1$  ( $f_{ij} > 0$  のとき),  $= 0$  ( $f_{ij} = 0$  のとき)。 $\bar{F}_B$  の連結成分を  $\bar{F}$  の連結成分と区別して二値連結成分とよぶ。

[定義 4] 画像  $\bar{F} = \{f_{ij}\}$  から次の式に従って導かれる画像  $\bar{D} = \{d_{ij}\}$  を、 $\bar{F}$  の重みつき距離変換 (Grey Weighted Distance Transformation) とよび、GWDT とかく。

$$d_{ij} = \min_{\{(i_r, j_r)\}} (f_{i_0, j_0} + f_{i_1, j_1} + \dots + f_{i_n, j_n})$$

ただし、 $\{(i_r, j_r)\}$  は、 $(i_0, j_0) \in F_0$ ,  $(i_n, j_n) = (i, j)$  かつ  $|i_r - i_{r-1}| + |j_r - j_{r-1}| = 1$  (4 近傍型) ( $\max(|i_r - i_{r-1}|, |j_r - j_{r-1}|) = 1$  (8 近傍型)) ( $r=1, 2, \dots, n$ ) を満たす任意の有限標本点列である。また、 $d_{ij}$  を与える有限標本点列  $\{(i_r, j_r)\}^*$  を点  $(i, j)$  に至る minimal path,  $\{(i_r, j_r)\}^*$  中の要素の個数をこの minimal path の長さという。特に、点  $(i, j)$  を通って他の点  $(i', j')$  に至るいかなる minimal path も存在しないとき、点  $(i, j)$  は  $\bar{D}$  の minimal path の終点であるという。さらには、与えられた画像  $\bar{F}$  から重みつき距離変換を求める操作を GWDT 変換といい、 $\bar{D} = \text{dist}(\bar{F})$  とかく。

さて、GWDT 変換には次のようないくつかの性質がある。

[性質 1] 任意の画像  $\bar{F}$  に対し、ある正の整数  $N$  が存在し、 $n \geq N$  なるすべての  $n$  (有限) に対して、 $\bar{D}_F^{(n)} = \text{dist}^{(n)}(\bar{F})$  の minimal path の終点の集合  $E_F^{(n)}$  は、 $\bar{F}$  の二値化画像  $\bar{F}_B$  に GWDT 変換を施した画像  $\bar{D}_B = \text{dist}(\bar{F}_B)$  の minimal path の終点の集合  $E_B$  を含む。すなはち  $E_B \subseteq E_F^{(n)}$ 。但し  $\bar{D}_F^{(1)} = \text{dist}(\bar{F})$ ,  $\bar{D}_F^{(n)} = \text{dist}^{(n)}(\bar{F}) \equiv \text{dist}(\bar{D}_F^{(n-1)})$  for  $n \geq 2$  を意味する。特に  $\bar{F}$  が二値画像ならば  $N = 1$  である。

この性質からわかるように、GWDT の適用は原画像に含まれる濃度値の情報を失わせる効果があり、従って、画像の濃度情報を重視するときは、GWDT を適用することは好ましくない。このことに関する定義をしておく。

[定義 5] 濃漠画像  $\bar{F}$  が本質的に二値であるとは、 $\bar{D}_F^{(1)} = \text{dist}(\bar{F})$  の minimal path の終点の集合  $E_F^{(1)}$  がその二値化画像  $\bar{F}_B$  の minimal path の終点の集合  $E_B$  を含むことをいう。すなはち  $E_B \subseteq E_F^{(1)}$

すなはち、画像が本質的に二値であるとは、画像の持つ濃度情報が少ないことを意味する。

[性質2] 任意の画像Fから得られるGWTでは、4近傍型、8近傍型共に、Fを除いて隣接する $3 \times 3$ (=9)点がすべて等しい値をとることはない。さらに4近傍型では、ある点とその上下左右の4点すべてが同じ値になることはない。

以上の証明は証数の関係を省略する。

性質2からGWTには隣接 $3 \times 3$ 点が同一濃度値をもつという意味で局所的に完全に平坦な部分は存在しないことになり、GWTの細線化が非常にやり易くなる。前処理としてGWTが用いられる理由は主としてこの利点にある。但し、性質2後半は、GWS(4近傍型)では直交する重複直線の交差部が適確に抽出できない原因となる。さらにGWTにはランダム雑音低減の効果もある。<sup>(4)</sup> GWTは上記のような長所短所をもつものであるが、細線化に際しては性質2とランダム雑音抑制の効果が活用される。

#### 4. 細線化法の比較実験

##### 4.1 細線化機能の評価項目

二値图形の細線化アルゴリズムの機能評価に際して考慮すべき項目は、文献(8)に述べられ、文献(5)でも用いられているが、ここでは濃淡画像の処理に特有な性質を考慮して、以下のような評価項目を設定する。

(1) 線中: 抽出線の線中が1であること。(2) 線の位置: 抽出線は尾根線上にあること。(3) 連結性: 尾根線上に明確な切れ目がない限り対応する抽出線は連結していること。(4) 安定性(1): 抽出線は濃度のランダムな変動(濃度雑音)に影響されないこと。(5) 安定性(2): 抽出線は領域の境界のランダムな変動(形状雑音)に影響されないこと。(6) 回転の影響: 抽出線は入力画像の回転の影響を受けないこと。(7) 処理時間: 濃度レベル数や細線化処理対象領域の大きさに無関係で、かつ高速であること。(8) 記憶容量: 入力画像と同じ大きさの配列の必要個数。さらに各手法の特徴を明確にするために以下の二項目も調べる。(9) 各手法による抽出結果間の一一致度: 抽出点の一一致度によって各手法の類似性を調べる。(10) 二値图形との比較: 濃淡画像とその二値化图形の抽出線の相違を比較して各手法における濃淡情報の反映の方法を調べる。

##### 4.2 実験方法

試料画像として次のようないものを適宜使用する。

試料A、(理想图形): 直線、L字形、分岐、交差を含む幾何学图形。濃度レベル数4(0~3), 線中5および6, 大きさ $60 \times 80$ 。本質的二値图形と考えられる。

試料B、(-般濃淡图形): 両持撮影胸部X線写真に血管影識別用差分型フィルタを施し、しまい値処理で濃淡連結成分をつくったもの。濃度レベル数114(0~113) 大きさ $60 \times 128$

これらの画像を前記各方法で処理し、その結果を評価し、あるいは相互に比較する。但し、GWS、WPMは必然的にGWTを伴うため処理結果の相互比較の条件を統一する意味でRES、REP、THの場合も、前処理としてGWTを行って結果に適用するようにした。(図2) 各細線化法はFORTRANサブルーチンの形で実現され、計算機システムFACOM 230-60, FACOM 230-38で実現された。

##### 4.3 実験結果と考察(I)

前節の実験の結果に対する実験者の主観評価を要約して表2に示す。また、細線化の結果の一部を図4に示す。以下、各項目についてやや詳しく述べる。

・線中: GWSではなくといふところ線中2に付る他は、とのアルゴリズムともほぼ線中1である。RES、THでは4連結と8連結の区別が可能である。但し、

4連結の場合のTHは原理的に不自然な結果を与える場合がある(図3)。WPMはほとんど線巾1であるが、4連結と8連結は混合している。

・線の位置: GWDTの後では、RESを除いてすべて抽出線はGWDTの尾根線上にある。RESでは、抽出線の方向や滑らかさの条件から、部分的に尾根線からずれることがある。

・連結性: THとRESでは原理的に保証され、が、4連結、8連結の別も指定可能である。ただし、THにおいては、連結領域内に極大窓が1窓しかないと、抽出線はその1窓に縮退する。<sup>(†)</sup> その他のアルゴリズムでは連結性の保証はないが、GWS、WPMは実験的におおむね良好である。REPでは連結性はほとんど考慮されない。

・安定性(1) (図5、図6): GWS、WPMが良い。これは、GWDTの平滑化作用によって minimal path の終点という情報が濃度雑音に対してかなり安定であることを示すものと考えられる。REP、RESは局所的な濃度情報を用いているため、GWDTの平滑化効果にもかかわらず、GWS、WPMよりは雑音の影響を受けやすくなる。THは雑音によりて濃度の凹みができると凹みの内側は原理的に細線化しない。但し、GWDTによるとこのような濃度の凹みは解消される。

・安定性(2) (図7): 各アルゴリズムとも形状雑音による影響は受けにくい。THは形状雑音で生じた極大窓に連なる偽尾根線を抽出する(図8)。

表2. 実験結果

|        | GWS | WPM | TH | REP | RES  |
|--------|-----|-----|----|-----|------|
| 線巾     | X   | O   | O  | △   | ◎    |
| 線の位置   | ◎   | ◎   | O  | O   | X    |
| 連結性    | △   | △   | ◎  | △   | ◎    |
| 安定性(1) | O   | △   | △  | △   | X    |
| 安定性(2) | O   | O   | O  | △   | O    |
| 回転の影響  | △   | O   | O  | ◎   | ◎    |
| 処理時間   | O   | O   | X  | O   | X    |
| 記憶容量*  | 2   | 3   | 1  | 1   | 2 ** |

\* 入力画像を保存しないとした場合の必要な配置数

\*\* さらに1だけ減らすこと可能

◎: 非常に良い, O: 良, △: 普通, X: やや劣る。

(†)これはここで用いたアルゴリズムが極大窓間をつなぐ尾根線を抽出するという方針で作製されているためであり、改善は可能である。

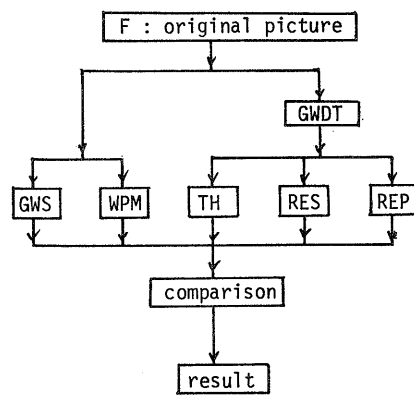


図2. 比較過程の flow chart



図3. 濃度分布  
が図のふうな場合  
TH(4連結)では  
口と口から抽出窓  
となる。

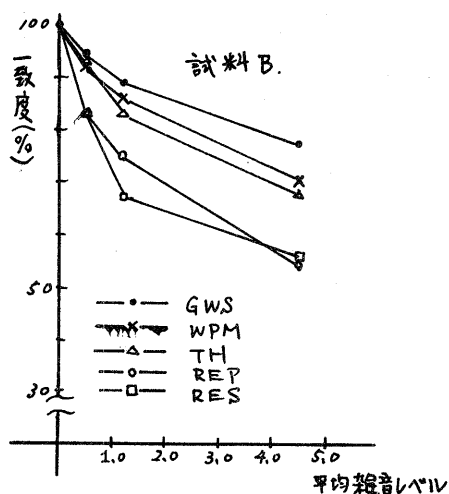


図5 濃淡雜音による一致度の変化  
(一様雑音の場合)

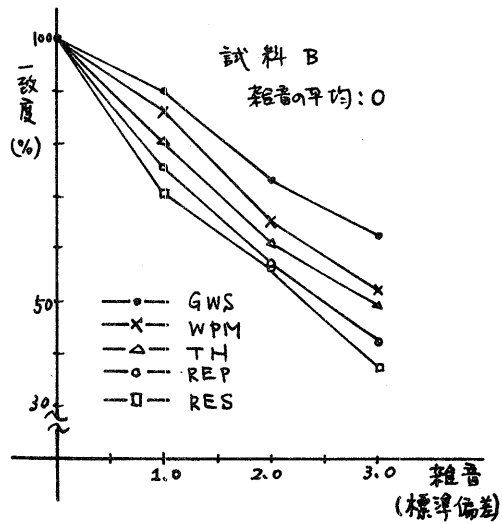


図6 濃淡雜音による一致度の変化  
(正規雑音の場合)

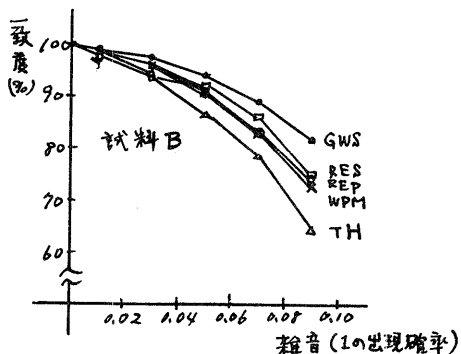


図7. 形状雜音による一致度の変化  
(0,1) 雜音

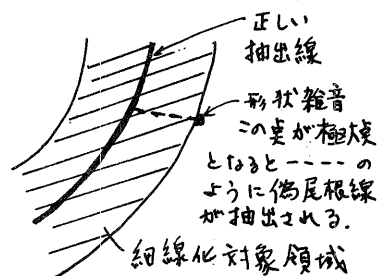


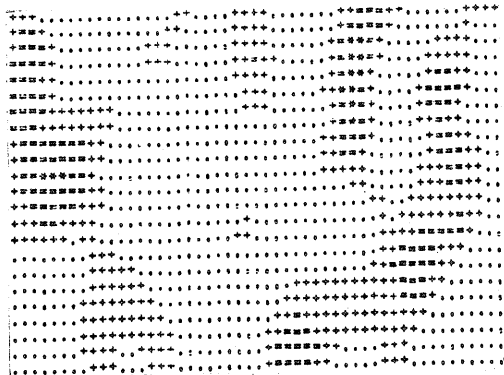
図8 THにおける形状雜音の影響

|     | 試料A            | 試料B            |
|-----|----------------|----------------|
| GWS | 0.49           | 0.51           |
| WPM | 0.66           | 0.58           |
| TH  | 1.07<br>(1.47) | 1.65<br>(2.08) |
| REP | 0.42<br>(0.82) | 0.26<br>(0.69) |
| RES | 0.76<br>(1.16) | 0.85<br>(1.28) |

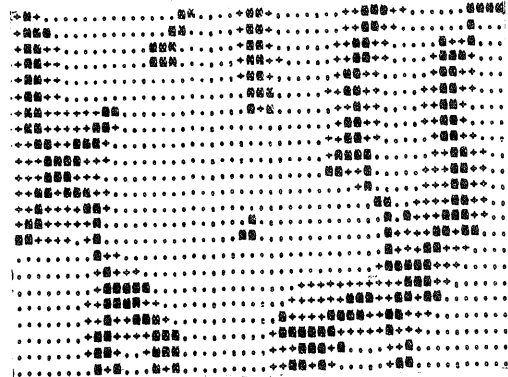
表3. 処理時間。  
処理対象領域-要素あたりの処理時間を示す。(単位 ms)  
( )内は GWT+DT 時間を加えた場合。 FACOM 230-60による。

| マジックテープ<br>A<br>vs<br>マジックテープ<br>B |  | GWS  | WPM  | TH   | REP  | RES  |
|------------------------------------|--|------|------|------|------|------|
| GWS                                |  |      | 1.00 | 0.92 | 0.60 | 0.34 |
|                                    |  |      | 0.62 | 0.55 | 0.57 | 0.83 |
| WPM                                |  | 0.62 |      | 0.72 | 0.76 | 0.46 |
|                                    |  |      |      | 0.73 | 0.49 | 0.70 |
| TH                                 |  | 0.53 | 0.57 |      | 0.71 | 0.50 |
|                                    |  |      |      |      | 0.45 | 0.75 |
| REP                                |  | 0.41 | 0.42 | 0.38 |      | 0.32 |
|                                    |  |      |      |      |      | 0.76 |
| RES                                |  | 0.32 | 0.38 | 0.43 | 0.29 |      |
|                                    |  |      |      |      |      |      |

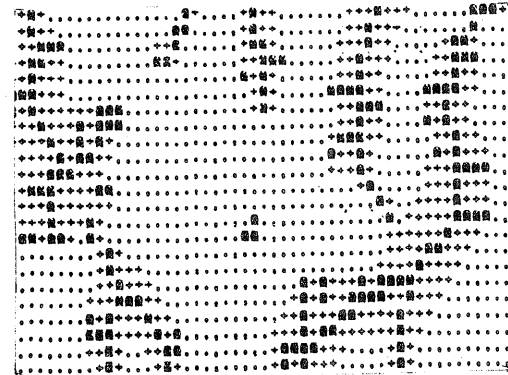
表4. アルゴリズム間の一致度 (%) (表下部)  
表上部 上段は  $|F_A \cap F_B| / |F_A|$ , 下段は  $|F_A \cap F_B| / |F_B|$  をあらわす。(試料B)



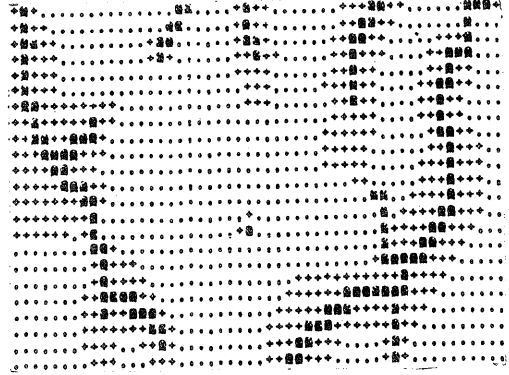
(a) original picture



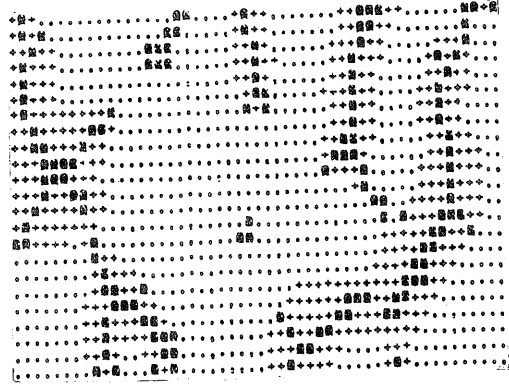
(c) GWS



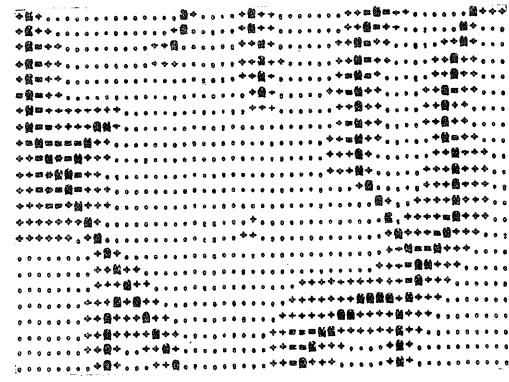
(e) REP



(b) TH



(d) WPM



(f) RES

図4 実馬頭結果(試料画像の一部) (④:抽出失敗以外の部分が細線化対象領域)

回転の影響: ここでは $45^\circ$ の回転のみを考慮する。理想回形を用いて各アルゴリズムで実験した結果、GWSを除いて良好であった。GWS(8近傍型)では、 $45^\circ$ 方向に抽出される線は一見線巾4の如き印象を与えたため評価がやや低い。

処理時間(表3): THは細線化過程の反復回数が濃度レベル数と領域の中に依存するため、全処理時間も対象图形に依存する。また、RESはback tracking(付録ステップ(6))の回数に依存するため、やはり対象图形に依存する。他のアルゴリズムは、等価的にほぼ画面の走査回数が1回で $3 \times 3$ 局所領域の演算であるから、その演

算の複雑さに依存する。また、細線化すべき領域以外の部分は処理しなくてよいという意味では、どの方法の処理時間も対象图形に依存する。

・アルゴリズム間の一一致度(表4)：アルゴリズム A, B で抽出された線図形上の点の集合を  $F_A, F_B$ , 集合  $F_A$  の点の個数を  $|F_A|$  とおくとき、一致度  $\rho$  を

$$\rho = |F_A \cap F_B| / (|F_A| + |F_B| - |F_A \cap F_B|)$$

で定義する。表4からもわかるように、各アルゴリズム間の一一致度は図9のような関係にはない。これから各アルゴリズムともそれぞれ独自の特徴を持つ、ということが知られる。ただし WPM の結果は、特殊なパラメータの設定の場合を除いて、GWS に包含される。(実質的に GWS を細めた形になる。)

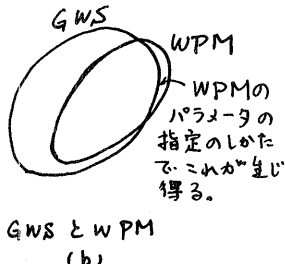
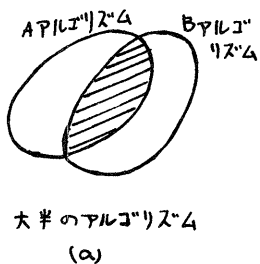


図9 Venn 図によるアルゴリズム間の一一致度の説明

|     | 試料 A | 試料 B |
|-----|------|------|
| GWS | 0.91 | 0.48 |
| WPM | 0.94 | 0.48 |
| TH  | 0.95 | 0.57 |

表5. 二値图形との比較  
(一致度  $\rho$ )。 (REP, RES は  
二値图形に対応するアルゴ  
リズムがないので除く)

#### 4.4 実験結果と考察(II) —二値图形細線化との比較—

濃淡画像  $F$  とその二値化画像  $F'$  とに、それ各自的細線化アルゴリズムを適用して得られた結果において、いかほどの差異が見出されるかは興味ある問題である。ここでは、この問題に関する実験結果を示す。但し、この場合、二値化图形の細線化法の選択が問題になる。本文の方針から、①同一方法で両者に適用可能なものの—WPM, GWS, および②二値濃淡图形の両者に共通する基本的な考え方に基づく、相対応した処理方法が存在するもの—TH(文献(3)と(7))、を探りあげて実験の対象とした。抽出された線図形の比較は先に定義した一致度  $\rho$  によって。(表5)

試料 A は前述のように本質的に二値と考えらるるから両者で一致する部分は極めて大きい。ここで両者に相違を生じるのは、GNDF の minimal path の終点が両者で部分的に異なるためである。一方試料 B に対しては、 $F$  と  $F'$  の処理結果にはかなりの差が生じる。両者のいすれかより適当であるかは処理の目的にも依存するため、一概には言えないが、原画像の尾根線に近いという観察から、濃淡情報を用いる方が良いと思われる。ここで用いた方法にも改善の余地が残されているが、上記の相違はそれにによるものではなく、やはり濃度値の情報の有無に基くものと思われる。一方、輪郭線抽出等では、前処理によつて本質的に二値であるよう(またはそれに近い)濃淡座成分を生成できることは、細線化に際しては濃淡情報を用ひなくてよいかであろう。

また、性質 1 により、一般に GNDF を繰り返し実行すると、その結果は次第に本質的二値图形に近づく傾向があるが、上記の試料 B の結果によれば、一回の GNDF では濃度情報はまだ著しく失われることはないようである。なお、本節では、E 問題について、その他にも興味深い結果が得られていれば、紙数の制限のため別の機会にゆずる。

#### 5. むすび

本文では、濃淡画像の細線化アルゴリズムとして、これまでに提案されていゝ重要なものを比較し、各々の性格を明らかにした。濃淡画像の細線化の方法は、二値图形の場合の諸方法のように細部まで洗練されてはおらず、基本的な考え方の提案にとどまるものが多い。従て、本文における検討も、各方法の基本方針に基づく性格の相違に重点をおいている。適当な試料画像を用いた実験では、各種方法に共通して抽出される点の割合は30~60%であり、各方法による抽出結果にはかなりの相違がみられる。このことから、応用に際しては手法の選択が重要になるが、現段階では明確な指針ではなく、結局は予備的な実験の結果をみて良好なものを見出すことになる。そのためには、各方法について基本的なアルゴリズムは容易に利用できるように用意されていゝのが望ましい。

ところで、本報告では検討を中心とした問題として(1)尾根線の厳密な定義(標本化画像上)とその抽出法、(2)濃淡图形と対応する二値化图形の細線化の結果の比較(濃度レベル数削減の効果等)、(3)GWTの性質、(4)他の諸方法—とくに文献(12)の方法等との比較、等が載せてある。これら的一部については、本文では割愛した多くの結果が得られており、別の機会に報告の予定である。

なお本文で実際に用いたプログラムの詳細も紙面の都合で省略するが、それらはすべて全国共同利用名古屋大学大型計算機センターの画像処理用ライブラリ SLIP の一部として登録されており、大学の研究者は上記センターにて利用できる。<sup>(20)</sup>(付録に該当サブルーチン名を示す。)

終りに、日頃御指導賜かる本学本多波雄教授に深謝する。また静岡大学阿部圭一助教授にはRESのプログラムを提供頂いたのみでなく、同氏の研究室における研究成果に基いて多くの有益な御討論を頂いたことを附記し、厚く御礼申し上げる。さらに御討論頂く研究室の皆様に感謝する。なお本実験には名古屋大学大型計算機センター並びに名古屋大学情報工学科計算機を利用した。

#### (参考文献)

- (1) 末永、鳥脇、福村 "濃淡图形処理のための差分型線型フィルタについて" 信学論(D), 57-D, 3, PP.119-126, (Mar. 1974)
- (2) 鳥脇 "图形パターン認識について(その2)" 名古屋大学大型計算機センターニュース, 3, 5, PP.366-383, (Oct. 1972)
- (3) 稲井、鳥脇、福村 "濃淡图形における特徴点の抽出と細線化の一方法" 信学論(D), 58-D, 10, PP.601-608, (Oct. 1975)
- (4) J.R.FRASER, E.S.DEUTSCH "On the quantitative evaluation of edge detection scheme and their comparison with human performance" IEEE Trans. C, C-24, 6, PP.616-628, (Jun. 1975)
- (5) 畠村 "图形の細線化についての比較研究" 情報処理学会イニシエーションセミナー資料1, 79.1-12, (Jun. 1975)
- (6) 田村 "細線化についての諸考察" 信学会PRL研究会資料, PRL75-66, PP.49-56, (Dec. 1975)
- (7) 稲井、鳥脇、福村 "標本化された二値图形のトポロジカルな性質について" 信学論(D), 56-D, 11, PP.662-669, (Nov. 1973)
- (8) C.J.Hilditch "Linear Skeleton from Square Cupboards" Machine Intelligence IV, B.Meltzer & D.Michie, Eds. University Press, Edinburgh, PP.403-420, (1969)
- (9) 横木、片山、伊藤、鶴見 "曲面の構造線" 信学会PRL研究会資料, PRL72-138, PP.1-10, (Mar. 1973)
- (10) E.A.Johnston, A.Rosenfeld "Digital detection of pits, peaks, ridges and ravines" IEEE Trans. SMC, SMC-5, 4, PP.472-480, (Jul. 1975)
- (11) T.K.Peucker, P.H.Douglas "Detection of surface-specific points by local parallel processing of discrete terrain elevation data" Computer Graphics and Image processing, 4, PP.375-387, (1975)
- (12) 鳥脇、福村 "標本化された濃淡画像の構造情報抽出の一方法" 信学会PRL研究会資料 PRL76-15, PP.21-30 (May. 1976)
- (13) G.Levi, U.Montanari "A grey-weighted Skeleton" Inf. & Cont. 17, PP.62-91, (Aug. 1970)
- (14) 鹿野、鳥脇、福村 "濃淡图形処理のためのWave Propagation method と諸変形について" 信学論(D), 56-D, 9, PP.515-522, (Sept. 1973)
- (15) 阿部 和也
- (16) 鳥脇、小柳津、福村 "輪郭を伴う連続濃度回影から曲線と識別する一方法" 情報処理, 11, 7, PP.388-399 (Jul. 1970)
- (17) U.Montanari "Optimization methods in image processing" in Information Processing 74, North-Holland Publishing Co., AP.727-732, (1974)
- (18) Y.P.Chiueh, K-S.Fu "A decision function method for boundary detection" Computer Graphics and Image Processing, 3, 2, PP.125-140, (June 1974)
- (19) A.Rosenfeld "Picture processing by computer" Academic Press, New York (1969)
- (20) 鳥脇 "画像処理のソフトウェアについて—ガブルーテン・ライブラリ—SLIPの解説(その1)" 名古屋大学大型計算機センターニュース, 6, 2, PP.103-145, (May 1975)

(付録1) RESの概要(近傍領域)の記号は図1参照。また、添字の計算はすべてmod 8で行なわれ、その値が0のときは8とする。)

ステップ 1：(初期条件) 実  $P_0$  を通る直線上の隣接 2 畳の濃度値が  $(x_p > x_i) \wedge (x_p > x_{i+4})$ ,  $(x_p \geq x_i) \wedge (x_p > x_{i+4})$ ,  $(x_p > x_i) \wedge (x_p \geq x_{i+4})$  のいずれかを満たすとき  $C_i(P_0) = 1$  とする ( $i=1, 2, 3, 4$ )。そのとき  $\sum_{k=1}^4 C_k(P_0) \geq 3$  を満たす箇を出発箇とする。出発箇が見つからなければ終り。

ステップ 2：ステップ 1 を満たす箇  $P_0$  の隣接箇  $P_j$  で  $C_{k_j}(P_j) = 1$  または  $C_k(P'_j) + C_k(P''_j) + C_k(P'''_j) \geq 2$  なる箇をマーカー。ここで、 $P'_j$  は  $P_j$  箇の  $\pm$  方向と直交する隣接箇である。条件を満たす箇がなければステップ 1 へ、あればステップ 3 へ。

ステップ 3：ステップ 2, ステップ 4, ステップ 5, ステップ 6 で定められた方向  $n(P_0, P_n)$  にたいし、 $P_n$  がステップ 2 の条件式を満たすならば、その箇を抽出候補箇としてこのステップを繰り返し、満たさなければステップ 4 へ。

ステップ 4：ステップ 3 で与えられた方向へ 2~3 畳先をみて、その箇がステップ 2 の条件を満たせば、その箇を抽出候補箇としてステップ 3 へ、満たさなければステップ 5 へ。

ステップ 5：追跡方向を変える。変更可能な方向はステップ 3 で与えられた方向から  $\pm 45^\circ$  とする。そして  $\pm$  の方向を新しい方向として隣接箇がステップ 2 の条件を満たすばステップ 3 へ、満たさなければステップ 6 へ。

ステップ 6：back tracking を行う。そしてステップ 5 へ。back tracking 回数があるしあい値を越えたらステップ 7 へ。

ステップ 7：出発箇へカビリ最初の方向から  $180^\circ$  回転した方向を追跡方向としステップ 3 へ。

ステップ 8：以上のようにして得られた追跡箇の個数がある値以上ならばそれらを抽出箇とする。また、画面上のすべての可能な出発箇から、上記手順で曲線を抽出する。

(付録 2) 本文で用いたアルゴリズムに対応する SLIP のサブルーチン名

- (1) REP ---- RIDG1I , (2) RES ---- RIDG3I , (3) TH --- THIN2I
- (4) GWS ---- RIDG2I , (5) WPM --- WPM2I